

Research Paper

## Laser Self-focusing Effect on Collisional Quantum Plasma with Ramped Density Profile<sup>1</sup>

**Somaye Zare<sup>2</sup>**

Received: 2020.09.04

Revised: 2020.11.13

Accepted: 2020.12.20

### Abstract

When an intense laser beam propagates in plasma, due to relativistic electrons resulting from the laser electric field, the plasma refractive index alters. Subsequently, the plasma behaves initially similar to a positive lens that decreases the laser spot size. In this article, the propagation of the laser beam in collisional quantum plasmas is investigated with considering a ramped density profile. Using WKB and paraxial approximations through parabolic equation, a mathematical formulation for the beam width parameter is obtained from the wave equation. Acquired equations are numerically solved by employing the fourth-order Runge-Kutta method. In the collisionless plasma, by increasing the ramp slope, the beam width focuses with less oscillation amplitude, smaller laser spot size and more oscillations. In the collisional quantum plasma, due to energy absorption, the oscillation amplitude enhances by passing through the plasma and the laser beam defocuses at a few lengths. For the greater values of the slope and the collision frequency, the laser spot size oscillates with the higher amplitude and defocuses in a shallower plasma depth. Also, greater plasma density results in smaller laser spot size and bigger oscillation frequency. Then, this effect is compared in the strong and weak quantum and classical plasmas. Decreasing the plasma temperature improves the magnetization due to the ponderomotive force related to the time variation, the beam-width oscillates with greater frequency and deeper penetration in the strong quantum plasma in comparison with the weak quantum or the classical cases.

**Keywords:** *Quantum Plasma, Relativistic Self-Focusing Effect, Beam Width Parameter, Collisional Plasma.*

---

<sup>1</sup> DOI: 10.22051/ijap.2020.32924.1175<sup>2</sup> Assistant Professor, Photonics and Quantum Technology Research School, Nuclear Science and Technology Research Institute, Tehran, Iran. Email: sozare@aeoi.org.ir

فصلنامه علمی فیزیک کاربردی ایران، دانشگاه الزهرا  
سال دهم، پیاپی ۲۱، تابستان ۱۳۹۹

مقاله پژوهشی

## خودکانونی باریکه لیزر در پلاسمای کوانتمی برخوردي با پروفایل چگالی رمپ<sup>۱</sup>

سمیه زارع<sup>۲</sup>

تاریخ دریافت: ۱۳۹۹/۰۶/۱۴

تاریخ بازنگری: ۱۳۹۹/۰۸/۲۳

تاریخ پذیرش: ۱۳۹۹/۰۹/۳۰

### چکیده

با عبور باریکه لیزر پرشدت از پلاسما و تولید الکترون‌های نسبیتی، تغییر ضربی شکست پلاسما به گونه‌ای است که پلاسما مانند یک عدسی همگرا، باریکه لیزر را متتمرکز می‌کند. در این مقاله، خودکانونی نسبیتی باریکه در پلاسمای کوانتمی برخوردي با فرض چگالی رمپ مطالعه می‌شود. با استفاده از تقریب پیرامحوری و WKB، معادلات کوپل شده‌ای برای پارامتر پهنه‌ای باریکه منتشرشده در پلاسمای مفروض به دست می‌آید که با روش رانگ کوتای مرتبه چهار به صورت عددی حل می‌شود. ابتدا با چشم‌بوشی از برخوردها در پلاسما، تأثیر گرادیان چگالی در خودکانونی بررسی می‌شود. مشاهده خواهد شد که با افزایش چگالی، بسامد نوسان‌های پهنه‌ای باریکه افزایش و دامنه نوسان و کمینه پهنه‌ای باریکه کاهش می‌باید. اما در پلاسمای برخوردي به علت جذب انرژی لیزر، دامنه نوسان پهنا در راستای انتشار افزایش می‌باید تا بالاخره باریکه از عمق

<sup>۱</sup> DOI: 10.22051/ijap.2020.32924.1175

<sup>۲</sup> استادیار، پژوهشکده فotonیک و فناوری‌های کوانتمی، پژوهشگاه علوم و فنون هسته‌ای، تهران، ایران.  
sozare@aeoi.org.ir

مشخصی و اگرا شود. پس با افزایش چگالی نیز آهنگ جذب بیشتر شده و باریکه با بسامد و دامنه بزرگتری نوسان کرده و از عمق کمتری و اگرا می‌شود، اما کمینه پهنا مشابه پلاسمای بی‌برخورد کاهش می‌یابد. همچنین، با افزایش بسامد برخورد، انرژی لیزر سریع تر افت می‌کند و باریکه با دامنه بزرگتری نوسان کرده و نفوذ کمتری در پلاسمای خواهد داشت. سپس خودکارونی در پلاسماهای کوانتمی قوی و ضعیف و کلاسیکی مقایسه می‌شوند. با کاهش دمای پلاسما و افزایش اثرات کوانتمی، مغناطیدگی حاصل از مؤلفه وابسته به زمان نیروی پاندرماتیو بیشتر می‌شود و خودکارونی قوی تری رخ می‌دهد. آن گونه که باریکه در پلاسمای کوانتمی قوی، با دامنه و کمینه پهنا کوچکتر و عمق نفوذ و نواخت تکرار بزرگتری نوسان خواهد کرد.

**واژگان کلیدی:** پلاسمای کوانتمی، اثر خودکارونی نسبیتی، پارامتر پهناهای باریکه، پلاسمای برخوردي.

## ۱. مقدمه

با پیشرفت لیزرهای فوق کوتاه و پرتوان، بهبود برهmekش لیزر با پلاسما و تولید الکترون‌ها و یون‌های پرشتاب، یکی از اهداف مهم بسیاری از پژوهشگران دنیا شد [۴-۱]. هرچه طول انتشار باریکه لیزر در پلاسما بیشتر باشد، برهmekش قوی تری رخ خواهد داد و در نتیجه الکترون‌های پرشتاب بیشتری تولید خواهد شد. یکی از راهکارهای افزایش این برهmekش، پدیده خودکارونی باریکه لیزر است که با کاهش قطر باریکه در پلاسما، شدت لیزر را در نقاط کانونی شده، افزایش داده و باعث بهبود برهmekش می‌شود. با عبور باریکه با شدت زیاد در پلاسما، الکترون‌های آزاد نسبیتی تولید می‌شود. به علت توزیع شدت فضایی باریکه، الکترون‌ها تغییر جرمی متناسب با وضعیت شعاعی خود، خواهند یافت. اما یون‌ها به واسطه لختی بزرگ، ساکن می‌مانند و نیروی بازگرداننده الکتروستاتیک را ایجاد می‌کنند. در نقاطی که شدت باریکه لیزر قوی تر است، جرم الکترون‌ها بیشتر می‌شود، پس فرکانس نوسان پلاسما کوچکتر و ضربی شکست پلاسما بزرگ‌تر خواهد شد. بنابراین ضربی شکست در محور باریکه، بیشترین مقدار خود را دارد و با دور شدن از محور مرکزی، اندازه آن کاهش خواهد یافت. این توزیع فضایی ضربی شکست، باعث می‌شود تا پلاسما برای باریکه لیزر مانند عدسی مثبت عمل کند. همچنین سرعت فاز در نواحی نزدیک لبه باریکه بیشتر از محور مرکزی است که خمیدگی جبهه فاز به سمت محور و کانونی شدن باریکه لیزر را نتیجه خواهد داد. این پدیده را خودکارونی نسبیتی لیزر می‌نامند که اولين بار در سال ۱۹۷۵ توسط پروفسور هورا معرفی شد [۵].

در فیزیک کلاسیک، انتشار باریکه لیزر در پلاسماهای برخوردی و بی‌برخورد در شرایط مختلف لیزر و پلاسما به صورت تئوری و تجربی مطالعه شده است [۱۱-۱۶]. کلاسیک یا کوانتمی بودن پلاسما، توسط دو عامل دما و چگالی پلاسما تعیین می‌شود. برای داشتن پلاسمای کوانتمی، دمای پلاسما باید از دمای فرمی،  $T_F = \frac{\hbar^2}{(3\pi n_e)^{2/3}} (2m_e k_B)^{1/3}$  کمتر و فاصله ذرات آن از طول موج دوبروی،  $\lambda_B = \hbar / (m_e k_B T)^{1/2}$  کوچک‌تر شود.  $m_e$ ،  $k_B$  و  $T$  به ترتیب نشان‌دهنده ثابت بولتزمن، چگالی الکترونی، ثابت پلانک، دمای پلاسما و جرم الکترون هستند. پس دمای زیاد و چگالی کم، معرف پلاسمای کلاسیک و چگالی زیاد و دمای کم مشخصه پلاسماهای کوانتمی است [۱۲-۱۴]. پلاسمای کوانتمی مانند پلاسمای کلاسیکی، به دو دسته برخوردی و بی‌برخورد تقسیم می‌شود که برخوردی یا بی‌برخورد بودن پلاسمای کوانتمی توسط پارامتر جفتیدگی،  $g_Q$  تعیین می‌شود

$$g_Q = \frac{E_{int}}{E_F} = \frac{2}{(3\pi^2)^{2/3}} \frac{e^2 m_e}{\hbar^2 \varepsilon n_e^{1/3}} \quad (1)$$

که در آن،  $E_{in}$ ،  $E_F$  و  $\varepsilon$  به ترتیب معرف انرژی فرمی، انرژی داخلی، ثابت دی الکتریک و بار الکترون هستند. اگر  $g_Q \geq 1$  باشد، برخوردها در پلاسما باید لحظه شوند و در غیر این صورت، پلاسمای کوانتمی بی‌برخورد است.

انتشار باریکه لیزر در پلاسمای کوانتمی بی‌برخورد در شرایط مختلف از جمله پلاسمای چگالی یکنواخت و چگالی رمپ مطالعه شده است [۱۵-۱۹]. در این مقاله، انتشار باریکه لیزر در پلاسمای کوانتمی با فرض وجود برخوردها در پلاسما با چگالی غیریکنواخت بررسی خواهد شد. با استفاده از معادله انتشار باریکه لیزر در پلاسما و فرض تقریب‌های پیرامحوری و WVB معادله‌ای برای پهنهای باریکه لیزر به دست می‌آید. ابتدا انتشار باریکه در پلاسماهای با چگالی متفاوت با فرض عدم برخورد مقایسه می‌شوند. سپس این محاسبات در پلاسماهای برخوردی با گرادیان چگالی متفاوت مقایسه خواهند شد. در پلاسمای برخوردی به دلیل جذب انرژی لیزر، با پیش روی باریکه در پلاسما، دامنه نوسان‌ها زیاد شده تا آنکه باریکه در عمق مشخصی، واگرا شود. در ادامه، تأثیر بسامد برخورد در خود کانونی باریکه لیزر بررسی می‌شود. در آخر با توجه به دمای پلاسما، انتشار باریکه لیزر در پلاسمای کلاسیکی و پلاسمای کوانتمی با دمای نزدیک دمای فرمی و دمای خیلی کوچک‌تر از دمای مقایسه خواهد شد.

## ۲. مقدمات نظری

معادله انتشار باریکه در راستای محور  $Z$  در مختصات استوانه‌ای برابر است با،

$$\frac{\partial^2 E}{\partial z^2} + \frac{1}{r} \frac{\partial}{\partial r} \left( r \frac{\partial E}{\partial r} \right) + \frac{\omega^2}{c^2} \epsilon E = 0 \quad (2)$$

که در آن،  $\omega$  بسامد زاویه‌ای لیزر و  $c$  سرعت نور را نشان می‌دهد. حل معادله (۲) برای میدان الکتریکی لیزر،  $E$ ، به صورت زیر است [۲۰، ۲۱]،

$$E = A \exp \left( i\omega t - i \int_0^z k dz \right) \quad (3)$$

با جایگذاری معادله (۳) در معادله (۲) و با فرض تقریب WKB نتیجه خواهد شد،

$$i \frac{\partial A}{\partial z} - \frac{1}{2rk} \frac{\partial}{\partial r} \left( r \frac{\partial A}{\partial r} \right) = \frac{\omega^2}{2kc^2} \epsilon A \quad (4)$$

بردار انتشار است. دامنه میدان الکتریکی،  $A$ ، در پلاسمای برخوردي برابر است با،  $k$

$$A = A_0 \exp(-ikS) \quad (5)$$

$S = S_r + iS_i$ ، تابع ایکونال است که برای پلاسمای برخوردي تابعی مختلف است. ضریب گذردهی پلاسمای کوانتمی برخوردي توسط مرمن در سال ۱۹۷۰ گزارش شد [۲۲]. در این مقاله نیز از ثابت دی الکتریکی که از معادلات جنبشی کوانتمی و انتگرال برخوردي BGK در فضای تکانه به دست آمده است، استفاده می‌شود [۲۳]. ثابت دی الکتریک حاصل از حل معادلات موجود در مرجع [۲۳]، شامل دو بخش حقیقی و موهومی است که در معادلات به ترتیب با  $\epsilon_r$  و  $\epsilon_i$  مشخص شده‌اند. در ادامه با جایگذاری (۵) در (۴) و مساوی صفر قرار دادن قسمت حقیقی و موهومی معادله، نتیجه می‌شود،

$$2 \frac{\partial S_r}{\partial z} + \left( \frac{\partial S_r}{\partial r} \right)^2 - \left( \frac{\partial S_i}{\partial r} \right)^2 = \frac{1}{k^2 A_0} \left( \frac{\partial^2 A_0}{\partial r^2} + \frac{1}{r} \frac{\partial A_0}{\partial r} \right) + \frac{2}{k A_0} \frac{\partial A_0}{\partial r} \frac{\partial S_i}{\partial r} + \frac{1}{k} \left( \frac{\partial^2 S_i}{\partial r^2} + \frac{1}{r} \frac{\partial S_i}{\partial r} \right) + \frac{\epsilon_r}{\epsilon_0} \quad (6)$$

$$\frac{\partial A_0^2}{\partial z} + \frac{\partial A_0^2}{\partial r} \frac{\partial S_r}{\partial r} + A_0^2 \left( \frac{\partial^2 S_r}{\partial r^2} + \frac{1}{r} \frac{\partial S_r}{\partial r} \right) + \frac{\partial^2 S_r}{\partial z^2} + \frac{\partial^2 S_r}{\partial r^2} \frac{\partial S_r}{\partial r} + \frac{\partial S_r}{\partial r} \frac{\partial^2 S_r}{\partial z \partial r} = 0 \quad (7)$$

$$2 A_0^2 k \left( \frac{\partial S_i}{\partial z} + \frac{\partial S_i}{\partial r} \frac{\partial S_r}{\partial r} \right) = A_0^2 k \frac{\epsilon_i}{\epsilon_r} \quad (8)$$

توابع حقیقی  $S_r$  و  $S_i$  برابر هستند با،

$$S_r = \varphi_r + \frac{r^2}{2f} \frac{df}{dz} \quad (8)$$

$$S_i = \varphi_i + \frac{r^2}{2} \beta_i \quad (9)$$

$\varphi_r$ ،  $\varphi_i$  و  $\beta_i$  به ترتیب پارامتر بی بعد پهنهای باریکه لیزر، تابع فاز محوری و توابع اتلاف باریکه لیزر هستند. توزیع شدت باریکه به صورت تابعی گاوسی فرض می شود،

$$A_0 = \frac{A_{00}}{f} \exp\left(\frac{-r^2}{2r_0^2 f^2}\right) \quad (10)$$

$A_{00}$  و  $r_0$  پهنهای اولیه باریکه و دامنه اولیه میدان الکترومغناطیسی لیزر را نشان می دهند. با قراردادن معادلات (۸) تا (۱۰) در (۶) و (۷)، چهار معادله به دست می آید،

$$f \frac{d\beta_i}{dz} + 2 \frac{df}{dz} \beta_i = f \frac{\varepsilon_i}{\varepsilon_0} \quad (11)$$

$$\frac{d^2 f}{dz^2} = \left( \frac{1}{r_0^2 k} - f^2 \beta_i \right)^2 \frac{1}{f^3} + f \frac{\varepsilon_r}{\varepsilon_0} \quad (12)$$

$$\frac{d\varphi_i}{dz} = \frac{\varepsilon_i}{2\varepsilon_0} \quad (13)$$

$$\frac{d\varphi_r}{dz} + \frac{1}{f^2 k^2 r_0^2} = \frac{\beta_i}{k} \quad (14)$$

بهتر است معادلات بر اساس متغیرهای بی بعد بازنویسی شود،

$$\xi = z / (r_0^2 k), \beta_i = \beta / (r_0^2 k), \varphi_{1,2} = k \varphi_{i,r} \quad (15)$$

نتیجه می شود،

$$\frac{1}{f} \frac{d^2 f}{d\xi^2} = \left( \beta - \frac{1}{f^2} \right)^2 + \left( \frac{r_0 \omega}{c} \right)^2 \frac{p_0}{2f^4} \varepsilon_r \left( 1 + \frac{p_0}{f^2} \right)^{-3/2} \quad (16)$$

$$\frac{d\beta}{d\xi} = \frac{-2\beta}{f} \frac{df}{d\xi} + \left( \frac{r_0 \omega}{c} \right)^2 \frac{p_0}{2f^4} \varepsilon_i \left( 1 + \frac{p_0}{f^2} \right)^{-3/2} \quad (17)$$

$$\frac{d\varphi_1}{d\xi} = k^2 r_0^2 \frac{\varepsilon_i}{2\varepsilon_0} \quad (18)$$

$$\frac{d\varphi_2}{d\xi} + \frac{1}{f^2} = \beta \quad (19)$$

$e^2 A_{00}^2 / (m_0^2 \omega^2 c^2) = p_0$  کمیت بی بعد متناسب با توان باریکه لیزر است. پروفایل چگالی پلاسمما به صورت تابع رمپ در نظر گرفته می شود،

$$n_e = n_{0e} (1 + B \xi) \quad (20)$$

مقداری ثابت و  $n_{0e}$  چگالی اولیه پلاسمماست. شرایط مرزی در شروع برهمکنش با فرض تابع توزیع گاوسی برای شدت لیزر و جبهه موج اولیه تحت به صورت ذیل است،

$$f = 1, \frac{df}{d\xi} = 0, \beta = 0, \varphi_{1,2} = 0 \quad (21)$$

لازم است ذکر کنیم که، زمانی که جذب در پلاسما در نظر گرفته می‌شود، پهنهای باریکه در هر نقطه از پلاسما برابر با  $r_0 F$  است نه  $F r_0 f$  پارامتر پهنهای باریکه تعمیم یافته است [۲۴]،

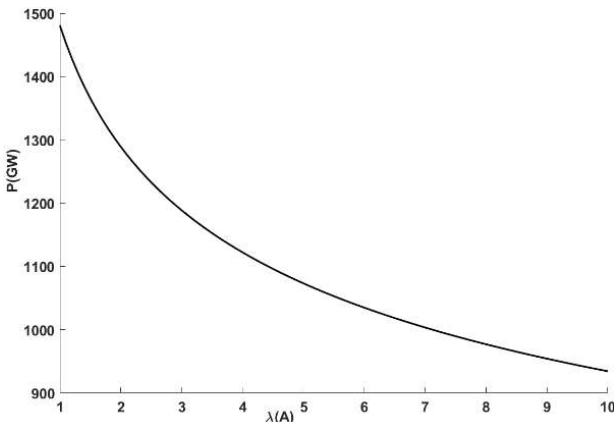
$$\frac{1}{F^2} = \frac{1}{f^2} - \beta \quad (22)$$

### ۳. محاسبات

معادلات (۱۶) تا (۱۹) با روش رانگ کوتای مرتبه چهار به صورت عددی با فرض شرایط مرزی (۲۱) حل می‌شوند. پس از حل این معادلات با استفاده از (۲۲) پارامتر پهنهای باریکه،  $F$  رسم می‌شود. پدیده خودکانونی نسبیتی در پلاسما تنها زمانی رخ خواهد داد که توان لیزر مساوی یا بزرگ‌تر از توان بحرانی باشد. این توان تابعی از طول موج لیزر و چگالی پلاسماست،

$$P(GW) \approx 17 \left( \frac{\omega}{\omega_p} \right)^2 \approx 17 \left( \frac{2\pi c}{\lambda} \right)^2 \left( \frac{m_e}{4\pi e^2 n_e} \right) \quad (23)$$

شکل ۱ توان بحرانی را به صورت تابعی از طول موج لیزر برای پلاسمایی با چگالی  $cm^{-3} = 4 \times 10^{19}$  نشان می‌دهد. مشاهده می‌شود که با کاهش طول موج توان آستانه افزایش می‌یابد و این بدان معناست که برای داشتن خودکانونی نسبیتی در طول موج‌های کوتاه‌تر، توان لیزر باید بزرگ‌تر باشد.



شکل ۱ وابستگی توان بحرانی خودکانونی نسبیتی به طول موج لیزر.

همچنین با توجه به (۲۳)، با افزایش چگالی پلاسمایی، توان بحرانی کاهش می‌یابد. بنابراین، توان بحرانی برای شروع خودکانونی نسبیتی در پلاسمای کوانتمی کوچک‌تر از مقدار آن در پلاسمای کلاسیکی خواهد بود.

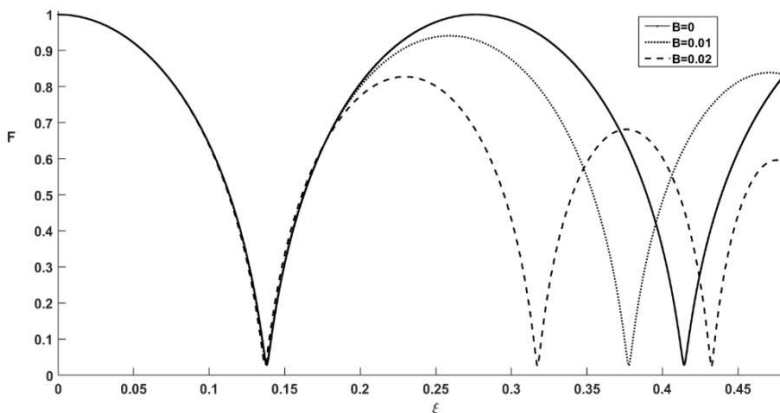
زمانی که باریکه لیزر پرشدت در پلاسمای منتشر می‌شود، به علت پدیده خودکانونی نسبیتی، پهنهای باریکه در راستای انتشار کاهش می‌یابد. با کاهش پهنهای باریکه، اثرات پراش تقویت خواهد شد، تا آنکه در کمینهٔ پهنهای اثرهای واگرایی بر خودکانونی غالب شده و پهنهای باریکه دوباره افزایش می‌یابد. با زیاد شدن پهنهای باریکه، واگرایی تضعیف شده و خودکانونی تقویت می‌شود تا جایی که در بیشینهٔ پهنهای خودکانونی بر پراش غالب شده و باریکه دوباره مرکز می‌شود. بنابراین، باریکه در راستای انتشار رفتاری نوسانی خواهد داشت. حل (۲۲) این رفتار نوسانی را نشان می‌دهد.

در ادامه با فرض  $p_0 = ۰/۱$  انتشار باریکه لیزر در پلاسمای کوانتمی برخورده با چگالی رمپ مطالعه خواهد شد. این مقدار  $p_0$  معادل لیزری با شدت  $۱۰^{۴۴} W cm^{-2}$  و توان  $۱۰^{۱۹} W$  است. با توجه به شکل ۱، این توان بسیار بزرگ‌تر از توان بحرانی،  $۱۰^{۱۲} W$  است که پیدایش چنین لیزرهایی نیازمند پیشرفت بیشتر سامانه‌های لیزری در آینده است.

در پلاسمای با صرف نظر کردن از برخوردهای چگالی رمپ باعث بهبود پدیده خودکانونی می‌شود. شکل ۲ انتشار باریکه لیزر طول موج ایکس را با پهنهای اولیه  $r_0 = \mu ۲۰ m$  و بسامد  $\omega = ۱/۸ \times ۱۰^{۲۱}$  در پلاسمای کوانتمی بی‌برخورد در سه گرادیان چگالی،  $B = ۰$  (خط ممتد)،  $B = ۰/۰۱$  (منحنی نقطه‌چین) و  $B = ۰/۰۲$  (منحنی خط‌چین) و با فرض  $n_{e0} = ۱ \times ۱۰^{۱۸} cm^{-3}$  نشان می‌دهد. در امتداد انتشار باریکه لیزر هر چه چگالی پلاسمای بزرگ‌تر می‌شود، خودکانونی قوی تر خواهد شد، زیرا با افزایش چگالی، تعداد الکترون‌های نسبیتی بیشتری تولید شده و ضریب شکست پلاسما بزرگ‌تر خواهد شد، پس پلاسمای عدسی قوی تری است و خودکانونی باریکه را بهبود می‌دهد. همانگونه که از شکل دیده می‌شود، دامنه نوسان پهنهای باریکه لیزر پس از دو نوسان در دو گرادیان چگالی  $B = ۰/۰۱$  و  $B = ۰/۰۲$  به ترتیب  $۸۳\%$  و  $۶۸\%$  پهنهای اولیه لیزر خواهد شد که این کاهش پهنهای باریکه باعث افزایش شدت آن خواهد شد. همچنین بسامد نوسان‌های پهنا افزایش خواهد یافت، به عبارت دیگر در راستای انتشار، تعداد دفعات رسیدن پهنهای باریکه به کمینهٔ مقدار خود، بیشتر خواهد شد و در نقاط بیشتری بیشینهٔ شدت لیزر رخ خواهد داد. با فرض  $v = ۷$ ، نتایج مشابه با مقالات [۱۵-۱۷] خواهد بود که انتشار باریکه را در پلاسمای کوانتمی بی‌برخورد بررسی کرده است که این تشابه، درستی نتایج محاسبات را نشان می‌دهد.

اما در پلاسمای برخورده، رفتار باریکه متفاوت خواهد بود، زیرا در راستای انتشار باریکه، انرژی لیزر به علت جذب توسط پلاسما کاهش می‌یابد. بنابراین در راستای انتشار دامنه نوسان‌های پهنهای باریکه افزایش خواهد یافت، زیرا با کاهش انرژی لیزر، اثرات خودکانونی تضعیف می‌شود

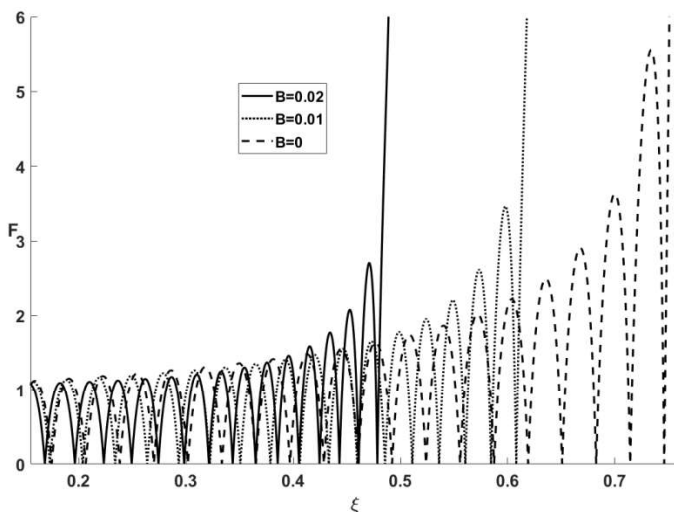
و مؤلفه‌های کانونی کردن پهناز باریکه در بیشینه پهناز بزرگتری بر مؤلفه‌های پراش غالب می‌شوند. همچنین این نوسان‌ها تا جایی که توان لیزر بیشتر از توان بحرانی برای داشتن خودکانونی نسبیتی باشد، ادامه می‌یابد. پس با کاهش انرژی لیزر در امتداد انتشار و رسیدن آن به مقداری کمتر از مقدار بحرانی، پراش بر خودکانونی غالب شده و باریکه کاملاً واگرا خواهد شد.



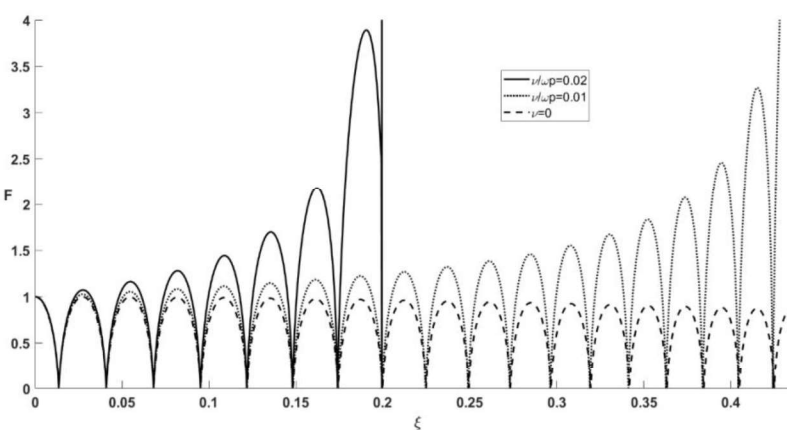
شکل ۲ مقایسه پارامتر پهناز باریکه در سه گرادیان چگالی  $B=0/0/0$  (خط ممتدا)،  $B=0/0/1$  ( نقطه‌چین )،  $B=0/0/2$  (خط چین) در پلاسمای بی برخورد.

در شکل ۳، خودکانونی باریکه در پلاسمای برخوردی با فرض بسامد برخورد،  $\omega_p = 0/0/1$  و  $v = 0/0/1$  و چگالی  $n_{e0} = 4 \times 10^{19} \text{ cm}^{-3}$  و سه گرادیان متفاوت،  $B = 0/0/1$  (خط ممتدا) و  $B = 0/0/2$  (منحنی نقطه-چین) و  $B = 0/0/0$  (منحنی خط چین) نشان داده شده است. همانگونه که انتظار می‌رفت، با افزایش چگالی پلاسما در راستای انتشار به علت جذب سریع تر انرژی لیزر و تضعیف خودکانونی، پهناز با دامنه بزرگتری نوسان کرده و در عمق کمتری واگرا می‌شود. همانگونه که از شکل دیده می‌شود، عمق نفوذ باریکه در پلاسماها با گرادیان چگالی  $B = 0/0/1$  و  $B = 0/0/2$  به ترتیب ۸۱٪ و ۶۴٪ عمق نفوذ باریکه در پلاسما با چگالی یکنواخت است. اما مشابه پلاسمای بی برخورد، به علت افزایش تعداد الکترون‌های نسبیتی، بسامد نوسان پهناز باریکه افزایش و کمینه پهنا کاهش می‌یابد. در ادامه، تأثیر بسامد برخورد پلاسما در انتشار باریکه در پلاسما مطالعه می‌شود. شکل ۴ خودکانونی باریکه لیزر را در پلاسماهای کوانتمی با گرادیان چگالی  $B = 0/0/2$  و بسامدهای برخورد متفاوت،  $v = 0/0/1$  (منحنی خط چین) و  $v = 0/0/2$  (منحنی نقطه-چین) و  $v = 0/0/0$  (خط ممتدا) نشان می‌دهد. در پلاسمای بی برخورد (منحنی خط چین)، به علت ثابت بودن شدت لیزر، دامنه نوسان پهناز باریکه ثابت است و باریکه بدون واگرایی در راستای انتشار نوسان خواهد کرد.

اما در پلاسمای برخوردی با افزایش بسامد برخورد، آهنگ جذب انرژی لیزر توسط پلاسما افزایش می‌یابد و در نتیجه پهنا با دامنه بزرگ‌تری نوسان می‌کند و باریکه از عمق کمتری واگرا خواهد شد. در شکل دیده می‌شود که باریکه در پلاسما با بسامد برخورد  $\nu=0.1\omega_p$ ، با پهنای  $3/9$  برابر پهنای اولیه از عمق  $=0.2$  و در پلاسما با بسامد  $\nu=0.01\omega_p$ ، با پهنای  $=0.02$  برابر پهنای اولیه از عمق  $=0.42$  واگرا می‌شود.

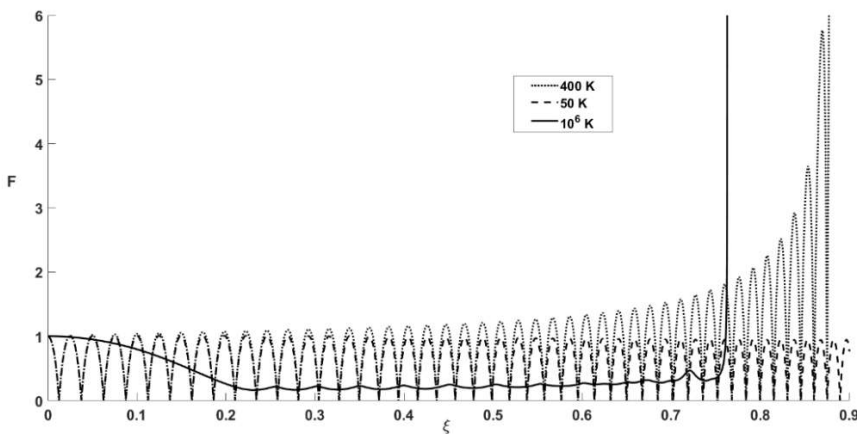


شکل ۳ انتشار باریکه لیزر در پلاسما با شبیه چگالی  $B=0.01\omega_p$  (خط چین)،  $B=0.02\omega_p$  (خط ممتد) با بسامد برخورد بسامد برخورد پلاسما،  $\nu=0.1\omega_p$  ( نقطه چین)



شکل ۴ پارامتر پهنای باریکه برای سه بسامد برخورد  $\nu=0.01\omega_p$  (خط چین)،  $\nu=0.02\omega_p$  ( نقطه چین)،  $\nu=0.001\omega_p$  (خط ممتد).

در پلاسمای کوانتمی، مؤلفه وابسته به زمان نیروی پاندرماتیو، یک میدان مغناطیسی القایی ایجاد می‌کند. به عبارت دیگر، این مغناطیدگی، ناشی از تغییرات وابسته به زمان شدت باریکه لیزر در پلاسمای کوانتمی است که در پلاسمای کلاسیکی وجود ندارد. زیرا در حالت کلاسیکی، مؤلفه نیروی پاندرماتیو حاصل از تغییر زمانی شدت میدان لیزر، صفر خواهد بود. مغناطیدگی القایی، خودکانونی باریکه در پلاسمای کوانتمی را تقویت می‌کند. بنابراین خودکانونی باریکه در پلاسماهای کوانتمی قوی‌تر از پلاسماهای کلاسیکی خواهد بود. از طرفی با کاهش دمای پلاسما و افزایش خصلت کوانتمی آن، مغناطیدگی بیشتر می‌شود. پس در پلاسمایی که دمای آن کمتر است، خودکانونی قوی‌تر مشاهده خواهد شد. اما با افزایش دما و نزدیک شدن به دمای فرمی، ویژگی‌های کوانتمی تضعیف می‌شود.



شکل ۵ انتشار باریکه لیزر در پلاسما با دمای  $K = 50$  (خط چین)،  $K = 400$  ( نقطه چین)،  $K = 10^6$  (خط متمد).

در ادامه، با فرض پلاسمایی با چگالی  $\rho = 1 \times 10^{19} \text{ cm}^{-3}$ ،  $n_{e0} = 1 \times 10^{19} \text{ cm}^{-3}$ ، پدیده خودکانونی باریکه لیزر در پلاسماهای کوانتمی با دمای  $K = 50 \text{ K}$  و پلاسمای کلاسیکی با دمای  $K = 10^6 \text{ K}$  مقایسه خواهد شد. شکل ۵ مقایسه انتشار باریکه لیزر را در این سه پلاسما نشان می‌دهد. در پلاسمای کوانتمی با دمای  $K = 50$ ، به علت مغناطیدگی بزرگ‌تر، اثرات خودکانونی تقویت خواهد شد و باریکه تا عمق بسیار بزرگ‌تری نسبت به دو حالت دیگر نفوذ خواهد کرد (واگرایی باریکه در یک بسیار بزرگی اتفاق خواهد افتاد که در شکل ۵ نمی‌توان نمایش داد). به همین ترتیب خودکانونی در پلاسمای کوانتمی با دمای  $K = 400$  نسبت به پلاسمای کلاسیکی قوی‌تر است. در راستای انتشار باریکه در پلاسما، کمینه پهنای باریکه به قدرت عوامل خودکانونی بستگی دارد. هر چه این عوامل قوی‌تر

باشد، کمینه کوچک‌تر و در نتیجه خود کانونی قوی‌تر خواهد بود. همانطور که در شکل ۵ دیده می‌شود، کمینه پهنه‌ای باریکه در پلاسماهای کلاسیکی ۳۳ برابر پلاسمای کوانتمی است. همچنین در پلاسمای کلاسیکی باریکه از عمق نفوذ کمتری واگرا خواهد شد. در محاسبات پلاسما کلاسیکی مقدار  $\frac{1}{2}$  مساوی صفر اختیار شده است تا حد کلاسیکی برقرار شود. رفتار باریکه با فرض پلاسمای کلاسیکی برخوردي، مشابه با مقاله [۹] است.

#### ۴. نتیجه‌گیری

ابتدا مشاهده کردیم که در پلاسمای کوانتمی با صرف نظر کردن از برخوردها درون پلاسما، با افزایش چگالی پلاسما در راستای انتشار، کمینه پهنه‌ای باریکه کاهش و بسامد نوسان‌ها افزایش می‌یابد. همچنین در راستای انتشار، دامنه نوسان‌های پهنه‌ای کاهش می‌یابد. اما با در نظر گرفتن برخوردها در پلاسما، به علت اتلاف انرژی لیزر در امتداد انتشار، دامنه نوسان باریکه افزایش می‌یابد تا آنکه باریکه پس از نفوذ در عمق مشخصی، واگرا شود. پس با افزایش گرادیان چگالی پلاسما یا افزایش بسامد برخوردها، نواخت جذب انرژی بیشتر شده و پهنه‌ای باریکه با دامنه بزرگ‌تری نوسان کرده و عمق نفوذ کمتری خواهد شد. اما مشابه با پلاسمای کوانتمی بی‌برخورد با افزایش گرادیان چگالی، کمینه پهنه‌ای باریکه کاهش می‌یابد. همچنین مقایسه خود کانونی در پلاسما در سه دمای متفاوت نشان داد که با افزایش دمای پلاسما، خود کانونی تضعیف می‌شود و باریکه پس از عمق نفوذ کمتری، واگرا خواهد شد. همچنین در پلاسمای کلاسیکی، کمینه پهنه‌ای باریکه بسیار بزرگ‌تر از پلاسمای کلاسیکی خواهد بود، زیرا مغناطیدگی ناشی از نیروی پاندرماتیو که باعث تقویت خود کانونی می‌شود، پدیده‌ای است که در پلاسمای کلاسیکی رخ نمی‌دهد.

#### ۵. تقدیر و تشکر

از جناب آقای دکتر داود رزاقی که در انجام این تحقیق با رهنمودهای ارزشمندانه ارزوی نمودند، کمال تشکر را دارم.

#### منابع

- [1] Hafizi B, Tang A, Sprangle P, and Hubbard R. F. Relativistic Focusing and Ponderomotive Channeling of Intense Laser Beams *Phys. Rev. E* **62** 4120-4125 2000
- [2] Monot P, Auduste T, Gibbon P, and Jakober F. Experimental Demonstration of Relativistic Self-Channeling of A Multiterawatt Laser Pulse in An Underdense Plasma *Phys. Rev. Lett.* **74** 2953-2956 1995

- [3] Watts I. Zepf M. Clark L. Tatarakis M. Krushelnik K. Dangor A. E. Alott R. Clarke J. Neely D. and Norreys P. N. Measurements of Relativistic Self-Phase-Modulation in Plasma *Phys. Rev. E* **66** 036409-6 2002
- [4] Rao B. S. Moorti A. Naik P. A. and Gupta P. D. Effect of Chirp on Self-Modulation and Laser Wakefield Electron Acceleration in the Regime of Quasimonoenergetic Electron Beam Generation *Phys. Rev. ST Accel. Beams* **16** 091301-6 2013
- [5] Hora H. Theory of Relativistic Self-Focusing of Laser Radiation in Plasmas *J. Opt. Soc. Am.* **65** 882-886 1975
- [6] Upadhyay A. Tripathi V. K. Sharma A. K. and Pant H. C. Asymmetric Self-Focusing of A Laser Pulse in Plasma *J. Plasma Phys.* **68** 75-80 2002
- [7] Kaur S. and Sharma A. K. Self Focusing of A Laser Pulse in Plasma with Periodic Density Ripple *Laser Part. Beams.* **27** 193-199 2009
- [8] Sharma A. and Kourakis I. Relativistic Laser Pulse Compression in Plasmas with A Linear Axial Density Gradient *Plasma Phys. Controlled Fusion*, **52** 065002-15 2010
- [9] Wang Y. and Zhou Z. Propagation Characters of Gaussian Laser Beams in Collisionless Plasma: Effect of Plasma Temperature *Phys. Plasmas* **18** 043101-6 2011
- [10] Smith W. L. Liu P. and Bloembergen N. Superbroadening in H<sub>2</sub>O and D<sub>2</sub>O by Self-Focused Picosecond Pulses from A YAG: Nd Laser *Phys. Rev. A* **15** 2396-2403 1977
- [11] Corkum P. B. Rolland C. and Srinivasan-Rao T. Supercontinuum Generation in Gases *Phys. Rev. Lett.* **57** 2268-2272 1986
- [12] Shukla P. K. A New Spin on Quantum Plasmas *Nat. Phys.* **5** 92-93 2009
- [13] Shukla P. K. Ali S. Stenflo L. and Marklund M. Nonlinear Wave Interactions in Quantum Magnetoplasmas *Phys. Plasmas*, **13** 112111-6 2006
- [14] Manfredi G. How to Model Quantum Plasmas *Fields Inst. Commun.* **46** 263-285 2005
- [15] Zare S. Yazdani E. Rezaee S. Anvari A. and Sadighi-Bonabi R. Relativistic Self-Focusing of Intense Laser Beam in Thermal Collisionless Quantum Plasma with Ramped Density Profile *Phys. Rev. ST Accel. Beams*, **18** 041301-7 2015
- [16] Wani M. A. and Kant N. Nonlinear Popagation of Gaussian Laser Beam in An Inhomogeneous Plasma Under Plasma Density Ramp *Optik* **127** 6710-6714 2016
- [17] Wani M. A. and Kant N. Investigation of Relativistic Self-Focusing of Hermite-Cosine-Gaussian Laser Beam in Collisionless Plasma *Optik* **127** 4705-4709 2016
- [18] Patil S. D and Takale. M. V. Stationary Self-Focusing of Gaussian Laser Beam in Relativistic Thermal Quantum Plasma *Phys. Plasmas* **20** 072703-4 2013
- [19] Bulanov S. V. Esirkepov T. Zh. Habs D. Pegoraro F. and Tajima T. Relativistic Laser-Matter Interaction and Relativistic Laboratory Astrophysics *Eur. Phys. J. D* **55** 483-541 2009
- [20] Akhmanov S. A. Sukhorukov A. P. and Khokhlov R. V. Self-Focusing and Diffraction of Light in A Nonlinear Medium *Phys. Usp.* **10** 609-636 1968
- [21] Pert G.J. Self-Focusing of Laser Beams In Dielectrics Semiconductors and Plasmas *Phys. Bull.* **26** 225 1975
- [22] Mermin N.D. Lindhard Dielectric Function in the Relaxationtime Approximation *Phys. Rev. B* **1** 2362-2363 1970
- [23] Latyshev A. V. and Yushkanov A. A. Longitudinal Electricconductivity in A Quantum Plasma with A Variable Collision Frequency in the Framework of the Mermin Approach *Theor. Math. Phys.* **178** 130-141 2014
- [24] Sharma A. Verma M. P. and Sodha M. S. Self-Focusing of Electromagnetic Beams in Collisional Plasmas with Nonlinear Absorption *Phys. Plasmas* **11** 4275-4279 2009